

ДОМЕНЫ ПОЛЯРИЗАЦИИ В НЕЛИНЕЙНОЙ ОПТИКЕ

B.E. Захаров, A.B. Михайлов

При встречном распространении электромагнитных волн в зеркальносимметричной среде с кубической нелинейностью вдоль оси четвертого порядка в пренебрежении оптическим керровским самодействием найдены устойчивые (основные) состояния поляризации. Показано, что эволюция произвольной начальной поляризации приводит к появлению "доменной структуры". Найдены явные решения, описывающие доменные стенки.

Рассмотрим две квазимохроматические электромагнитные волны с характерными частотами ω^\pm и комплексными огибающими $E^\pm(x, t)$, распространяющиеся навстречу друг другу с групповыми скоростями v_\pm в анизотропной (вдоль оси четвертого порядка) или изотропной среде с кубической нелинейностью. Наиболее сильным нелинейным эффектом является взаимная перестройка поляризаций этих волн. Статическая задача о пространственной эволюции поляризаций обсуждалась в работах ¹⁻³. В этой работе мы покажем, что в пренебрежении керровским самодействием волн задачу в общей нестационарной постановке можно решить точно — она сводится к интегрируемой системе анизотропного кирального поля на группе $O(3)$. Это, в частности, означает, что асимптотика произвольного начального состояния поляризаций будет иметь "доменную" структуру, где доменами являются области с различными устойчивыми статическими состояниями, реализующими минимумы гамильтониана, а доменные стенки, размер и скорость которых зависит от амплитуд падающих волн и констант нелинейного взаимодействия, это области переключения, поляризаций. Ясно, что эта доменная структура сохранится, если учесть затухание волн или другие нелинейности, не разрушающие свойство вырожденности дискретного набора минимумов гамильтониана.

Полагая $E^\pm(x, t) = E_y^\pm j + E_z^\pm k$, запишем общий феноменологический гамильтониан взаимодействия в виде $H_{int} = \hat{H}^+ + \hat{H}^- + \hat{H}$ где

$$H^\pm = \frac{1}{2} \int dx \left\{ \beta_1^\pm |E^\pm|^4 + \beta_2^\pm (|E_y^\pm|^4 + |E_z^\pm|^4) + \beta_3^\pm [(E_y^\pm)^2 (E_z^\pm)^*]^2 + \text{к.с.} \right\},$$

$$\hat{H} = \int dx [\gamma_1 |E^+|^2 |E^-|^2 + \gamma_2 (|E_y^+|^2 |E_z^-|^2 + |E_z^+|^2 |E_y^-|^2) +$$

$$+ \gamma_3 (E_y^+ E_z^+ * E_y^- E_z^- * + \text{к.с.}) + \gamma_4 (E_y^+ E_z^+ * E_y^- E_z^- + \text{к.с.})].$$

Система уравнений движения $\partial_t E^\pm \pm v_\pm \partial_x E^\pm = i\delta H_{int} / \delta E^\pm *$ после перехода к квадратичным по полям вещественным переменным

$$S_0^\pm = |E^\pm|^2, \quad S^\pm = (E_y^\pm * E_z^\pm + \text{к.с.}, iE_y^\pm * E_z^\pm + \text{к.с.}, |E_y^\pm|^2 - |E_z^\pm|^2) \quad (1)$$

принимает вид $\partial_\xi S_0^+ = 0$, $\partial_\eta S_0^- = 0$,

$$\partial_{\xi} S^+ = S^+ \times (J_+ S^+ + J S^-), \quad -\partial_{\eta} S^- = S^- \times (J_- S^- + J S^+), \quad (2)$$

где $\partial_\xi = \partial_t + v_+ \partial_x$, $\partial_\eta = -\partial_t + v_- \partial_x$, $J_\pm = \text{diag}(-\beta_3^\pm, \beta_3^\pm, -\beta_2^\pm)$, $J = \text{diag}(-\gamma_3 - \gamma_4, \gamma_3 - \gamma_4, \gamma_2)$. Взаимодействия с константами β_i^\pm , γ_1 несущественны – они приводят лишь к нелинейной поправке к изотропной части коэффициента преломления и автоматически исключаются в переменных (1). Отметим, что в изотропной среде

$$\beta_2^\pm = \beta_3^\pm, \quad \gamma_2 = -\gamma_3 - \gamma_4. \quad (3)$$

Далее мы ограничимся рассмотрением ситуации, когда можно пренебречь оптическим керровским действием волн E^+, E^- по сравнению с их взаимодействием, т.е. будем считать, что $|E^+|^2 |E^-|^2 \|J\| \gg |E^\pm|^4 \|J_\pm\|$. Она осуществляется, когда разность частот $\omega^+ - \omega^-$ близка к какой-нибудь собственной частоте среды⁴. При этом система уравнений (2) упрощается и совпадает с известной интегрируемой методом обратной задачи моделью анизотропного кирального поля на группе $O(3)$ ^{5,6}:

$$\partial_\xi S^+ = S^+ \times JS^-, \quad -\partial_\eta S^- = S^- \times JS^+, \quad J = \text{diag}(J_1, J_2, J_3). \quad (4)$$

Статическим состояниям отвечают постоянные векторы S^+ , S^- направленные вдоль одной из главных осей тензора J . Вначале будем считать, что $J_a^2 \neq J_b^2$ при $a \neq b$. Анализ закона дисперсии малых колебаний вблизи каждого из этих состояний равновесия показывает, что устойчивым является только то, в котором оба вектора S^+ , S^- ориентированы вдоль главной оси e_a тензора J_a с наименьшим квадратом собственного значения ($J_a^2 < J_b^2, J_c^2$), причем эти векторы направлены параллельно, если $J_a J_c > 0$ и антипараллельно если произведение $J_a J_c$ отрицательно. Параллельным векторам S^\pm отвечают одинаковые поляризации волн E^\pm , а антипараллельным – ортогональные поляризации, т.е. $(E^{+\ast}, E^-) = 0$. Пары устойчивых состояний поляризаций полей E^+, E^- – при различных соотношениях между константами взаимодействия приведены в таблице. Волны стремятся прийти в эти энергетически наиболее выгодные состояния, т.е. происходит их самополяризация. Здесь ситуация вполне аналогична теории ферромагнетизма, где спины стремятся выстроиться по наиболее выгодной оси анизотропии.

(\pm) обозначает положительную или отрицательную круговую поляризацию, черта отражает ориентацию линейной поляризации в плоскости (y , z). В начале указана поляризация волн E^+ затем E^- .

И также как в ферромагнетиках здесь существуют доменные стенки, описывающие переход из одного устойчивого состояния в другое. Например в случае $J_1^2 > J_2^2 > J_3^2$, $J_1 J_2 > 0$ эта стенка имеет вид

$$S^+ = (a \sin \varphi / \operatorname{ch} X, \ a \cos \varphi / \operatorname{ch} X, \ -a \operatorname{th} X),$$

$$S^- = (b \sin \psi / \operatorname{ch} X, b \cos \psi / \operatorname{ch} X, b \operatorname{th} X),$$

$$X = \frac{p b v_- + q a v_+}{v_+ v_-} \left[x - \frac{(q a - p b) v_+ v_-}{(v_+ q a + v_- p b)} t - x_0 \right],$$

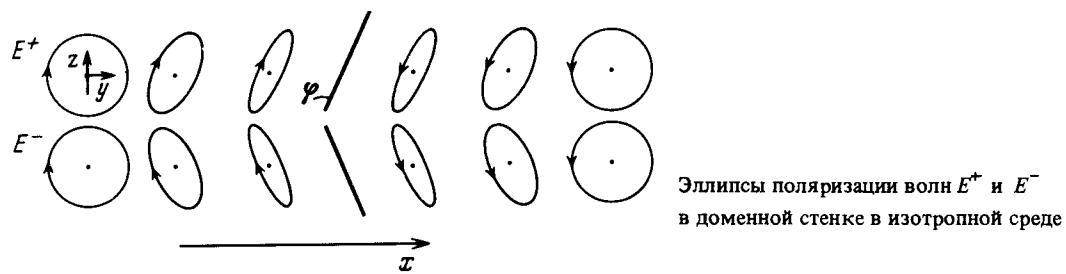
где x_0, a, b – произвольные константы, а постоянные параметры p, q, φ, ψ связаны тремя соотношениями:

$$p+q=(J_1+J_2)\sin(\varphi-\psi), \quad p-q=(J_2-J_1)\sin(\varphi+\psi), \quad (6)$$

$$J_3=J_2\cos\varphi\cos\psi+J_1\sin\varphi\sin\psi.$$

Таким образом при заданных интенсивностях волн и x_0 имеется однопараметрическое семейство решений в виде доменной стенки.

Система уравнений (4) и модель Ландау и Лифшица, описывающая двухосный ферромагнетик, интегрируются с помощью однои и той же линейной спектральной задачей (ср. ^{5,7}). Поэтому все результаты полученные для магнетиков без труда переносятся на наш случай. Можно, например, выписать точные N -солитонные и конечнозонные периодические решения. Исследовать взаимодействия доменных стенок с пакетами волн поляризации (аналогом спиновых волн) и т.д. Отметим, что устойчивость доменов поляризации имеет топологическую природу, а необходимые для их наблюдения мощности излучения и размеры образцов лежат в экспериментально достижимой области параметров.



Проанализируем подробнее структуру доменов в изотропных средах. В этом случае имеется вырождение собственных значений тензора J (3). Если $J_1^2 = J_3^2 > J_2^2$, то основными состояниями гамильтониана \hat{H} являются одинаковые положительные или отрицательные круговые поляризации полей E^\pm . Доменная стенка, связывает состояния с противоположной круговой поляризацией (рис. 1). В толще стенки поляризации обеих волн являются эллиптическими, а в самом центре – линейными. Отношения малой (b_2^\pm) к большой (b_1^\pm) оси эллипса поляризации обеих волн совпадают и имеют вид

$$\frac{b_2^\pm}{b_1^\pm} = \operatorname{th} \left[\sqrt{\gamma_3 \gamma_4} \left(|E^+|^2 + |E^-|^2 \right) \left(x - \frac{|E^+|^2 - |E^-|^2}{|E^+|^2 + |E^-|^2} t - x_0 \right) \right]. \quad (7)$$

(Здесь для простоты мы положили $v_\pm = 1$.) Во всей толще доменной стенки эллипсы поляризации обеих волн не меняют своей ориентации. Их большие оси развернуты по отношению друг к другу на угол $\varphi = \pm \frac{1}{2} \operatorname{arc} \operatorname{tg} [2\sqrt{\gamma_3 \gamma_4} / |\gamma_3 - \gamma_4|]$. Ориентация эллипса поляризации одного из полей является произвольной, как это и должно быть в изотропной среде. Отметим, что скорость доменной стенки в этом случае полностью определяется интенсивностями волн E^+, E^- и при равных интенсивностях она обращается в нуль.

При обратном неравенстве $J_1^2 = J_3^2 < J_2^2$ гамильтониан является бесконечнократно вырожденным, в основном состоянии поля E^\pm одинаково линейно поляризованы, а ориентация направления поляризации в плоскости (y, z) является произвольной. В теории ферромагнетизма первому случаю отвечает анизотропия типа "легкая ось", а второму – типа "легкая плоскость". Случай $J_1 = J_2 = J_3$ (приводящий к модели главного кирального поля ⁸) является еще более вырожденным – произвольная одинаковая поляризация волн E^\pm является безразлично устойчивой. Отметим, что он реализуется в плазме при $\omega^\pm \gg \omega_p$.

Литература

1. *Kaplan A.E.* Opt. Lett., 1983, 8, 560.
2. *Yumoto J., Otsuka K.* Phys. Rev. Lett., 1985, 54, 1806.
3. *Gregori G., Wabnitz S.* Phys. Rev. Lett., 1986, 56, 600.
4. *Ахманов С.А., Коротеев Н.И.* Методы нелинейной оптики в спектроскопии рассеяния света. М.: Наука, 1981, с. 139.
5. *Чередник И.В.* ТМФ, 1981, 47, 537.
6. *Борисов А.Б., Киселев В.В.* ТМФ, 1983, 54, 246.
7. *Склянин Е.К.* Сб. "Современные проблемы теории магнетизма", Киев, Наукова Думка, 1986, с. 12.
8. *Захаров В.Е., Михайлов А.В.* ЖЭТФ, 1978, 74, 1953.

Институт теоретической физики им. Л.Д.Ландау
Академии наук СССР

Поступила в редакцию
3 февраля 1987 г.